Մեխանիկա

XX, No 4, 1967

Мехапика

Р. А. КОТИКЯН

ВЛИЯНИЕ ВОЗРАСТА НА ПОЛЗУЧЕСТЬ БЕТОНА ПРИ СЖАТИИ С ПОСЛЕДУЮЩИМ КРУЧЕНИЕМ

В работе [3] было установлено, что кривая полнучести бетона при простом напряженном состоянии—чистом сжатии, одновременно представляет криную полнучести при сложном напряженном состоянии—сжатии с последующим кручением. Исследования показали также применимость зависимостей теории упруго-полнучего тела к описацию закономерностей полнучести бетона при сложно-напряженном состоянии.

В настоящей работе принодятся результаты аналогичных исследований, которые отличаются тем, что в этом случае ползучесть бетона при отмеченном выше сложно-напряженном состоянии изучалась в зависимости от такого важного фактора, каким является возраст бетона в момент длительного загружения. Параллельно исследовалось также соотношение меры ползучести при чистом сжатии и чистом кручении.

Работа выполнена под руководством канд, техн. наук К. С. Карапетина в лаборатории прочности и ползучести ин-та математики п механики АН АрмССР.

Изготовленные образцы и методика исследования в основном проводились по методике, принятой в работе [3]. Испытанию подвергались полые цилиндрические образцы с наружным диаметром 204 мм, высотой 800 мм и толщиной стенок 20 мм. Образцы были изготовлены из мелкозернистого бетона на кварцевом песке и портландцементе Араратского завода марки 500. Состав бетона приведен в табл. 1.

Таблица 1

Состан бетона	B	Расход материали на 1 м бетопа в иг			, н <i>т/м</i> ³
		цемент	песок	вода	i u mim
1:2.20	0.59	610	1343	360	2.31

Всего было изготовлено 2 замеса бетона и из каждого замеса было изготовлено по 18 цилиндрических трубчатых образцов и необходимое количество кубиков с ребром 10 см.

Опыты проводились в помещении, где температура T=20=2 C, а относительная влажность $P=60\cdot 10^6$ $_0$.

Образцы, изготовленные из первого замеса бетона (18 шт.), были

испытаны пол кратковременной нагрузкой в возрасте 7,14, 28 и 90 дней с нелью изучения влияния возраста на прочность и деформативность бетона при сложно-напряженном состоянии. Каждый образец сначала загружался определенной постоянной сжимающей нагрузкой, а затем доводился до разрушения кручением. Величина сжимающего напряжения составляла 50 кг/см-, а относительное напряжение в возрасте 7, 14, 28 и 90 дней соотпетственно 0.32, 0.21, 0.18 и 0.17. Осеная сжимающая нагрузка и крутящий момент прикладывались ступенями и после каждой ступени нагрузки измерялись деформации.

В таба. 2 приведены прочностные показатели бетона на сжатие $R_{\rm con}$ а также на кручение при $z_{\rm con} = 50~\kappa_{\rm c}$ см п различных возрастах. Как видим, кубиковые прочности по испытаниям кубиков, изготовленных из двух разных замесов, практически равны.

Таблица 2

	Возрает бетона в днях					
Прочность в кг с.ч3	7	14	28	90		
К, (1 серия)	156	237	285	286		
R _k (II серия)	148	235	260	260		
Region and a series	18	21,4	25.1	30.0		

Для исследования ползучести бетона при сложно-напряженном состояния под длительную нагрузку были установлены 12 образцов, из коих 8—на сложно-напряженное состояние (по два образца в каждом возрасте), 2 на чистое сжатие и 2 на чистое кручение (в возрасте 28 дней). Напряжение во псех образцах от сжимающей нагрузки составляло 50 мг/см-, от крутящих моментов для образцов, загруженных на сложно-напряженное состояние, —8.35 кг/см-, а на чистое кручение—5.57 кг/см².

В отличне от кратковременных испытаний, когда нагрузка повышалась ступенями, при длительном загружения образцов в условиях сложного напряженного состояния заданная сжимающая нагрузка и крутящий момент прикладывались сразу.

Продольные деформации ползучести измерялись по четырем образующим на базе 250 мм переносным деформометром, снабженным индикатором с ценой деления 0.002 мм. Деформации кручения измерялись на базе 100 мм с двух сторон образцоп с помощью постоянно установленных индикаторов с ценой деления 0.001 мм. Методика измерения деформаций при кратковременных испытаниях отличалась лишь тем, что в этом случае деформации измерялись с номощью постоянно установленных индикаторов.

Ползучеств от ежимающей нагрузки определялась как разность суммарных и усалочных деформаций. Усадка измерялась на трех ненагруженных образцах-близнецах.

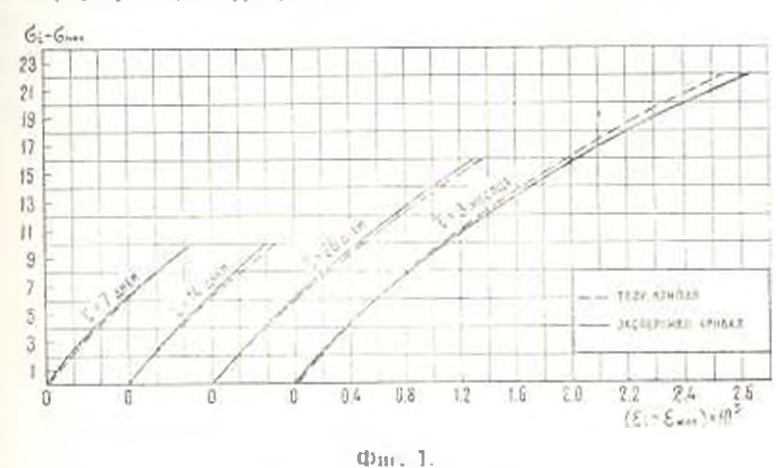
Интенсивности напряжений и деформаций при сложном нагружении в случае кратковременных испытаний определялись по формулам (1, стр. 295).

$$z_i = 1 \quad \overline{z_{i,x}^2 + 3z_{xz}^2} \tag{1}$$

$$z_{I} = 1 \quad \overline{z_{xx}^{2} + 3z_{xx}^{2}}$$

$$z_{xx} = \frac{2}{3} \int_{-2xx}^{2x} - z_{xx} z_{yy} + \frac{3}{4} \gamma_{xx}^{2}$$
(2)

Интенсивности напряжения и деформаций ползучести также определялись по формулам (1) и (2) лишь с тои разницей, что в этом случае в формуле (2) $\varepsilon_{yy}(t) = 0$.



Необходимо отметить, что 😘 представляет напряжение от крутящего момента на наружной поверхности образца.

На фиг. 1 сидошными линиями приведены экспериментальные кривые зависимости между интенсивностями деформаций и папряжений при сложно-наприжённом состоянии в различных ноэрдстах. Каждая кривая соответствует средним значениям деформаций 2—3 образцов.

Как и в работе [2], для описания кривых быль использована вависимость пида

$$A = -1 \quad A = -1 \quad B = -1 \quad B$$

где А, В и п — опытные параметры. В результате описания экспериментальных кривых для опытных параметров получены следующие значения:

$$A = 0.085 \cdot 10^{-1} \frac{c_{11}}{\kappa_{1}}$$

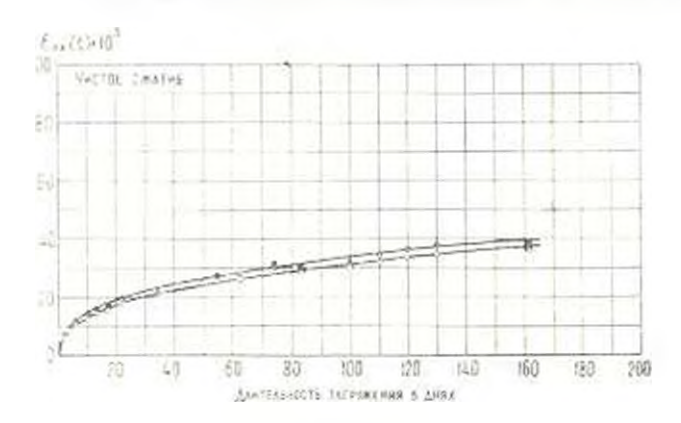
$$B = 0.0025 \cdot 10^{-1} \frac{c_{11}}{\kappa_{1}}$$

$$c_{11} = 2$$
(4)

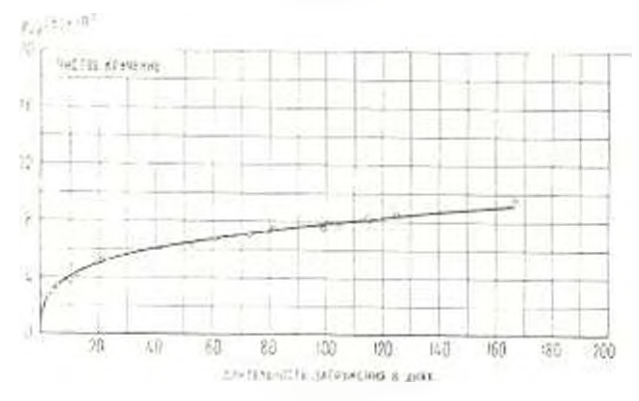
Как видно из фиг. 1, кривые (пунктир), построенные по зависимости (3), хорого впроксимируют экспериментальные кривые, соответствующие разным ноэрастам бетона в момент испытания. Таким образом, возраст бетона не оказывает влияния на зависимость "интенсинность деформаций—интенсивность напряжений при сложно-напряженном состоянии сжатие с последующим кручением. Между тем, данные табл. 2 показывают, что при одинаковой начальной сжимающей нагрузке прочность бетона с унеличением возраста увеличинается. Аналогичное явление паблюдалось и в работе [4].

Рассмотрим результаты исследования ползучести полых цилиндрических оболочек при чистом сжатия и чистом кручении, загруженных в возрасте т 28 дней. Как уже отмечалось, целью этих исследований было изучение ползучести бетовных цилиндрических образцов при чистом кручении и чистом сжатии и определение их взаимосвязи.

На фиг. 2 и 3 приведены экспериментальные кривые ползучести при осеном сжатии $\pi_{1,1}(t)$ и чистом кручении $\gamma_{xx}(t)$. Поскольку напря-



Фиг. 2.



Фиг. 3.

жение в длительно загруженных образцах было меньше половины их прочности $= 50 \ \kappa v/cm^2$, $= 5.57 \ \kappa v/cm^2$, можно считать |1|, что имела место линейная ползучесть.

Согласно теории упруго-ползучего тела, мера ползучести бетона при осевом сжатии и чистом кручении выражается следующими зависимостями [1]:

 $C(t,z) = \varphi(z) f(t-z) \tag{5}$

$$or(t, \tau) = 2 \left[1 + v_2(t, \tau) \right] C(t, \tau)$$
 (6)

В работе [3] для описания крипых ползучести цилиндрических образцов была принята мера ползучести в следующей форме:

$$C(t,\tau) = \varphi(\tau) [1-0.5] e^{-\tau_{\tau}(t)}$$
 (7)

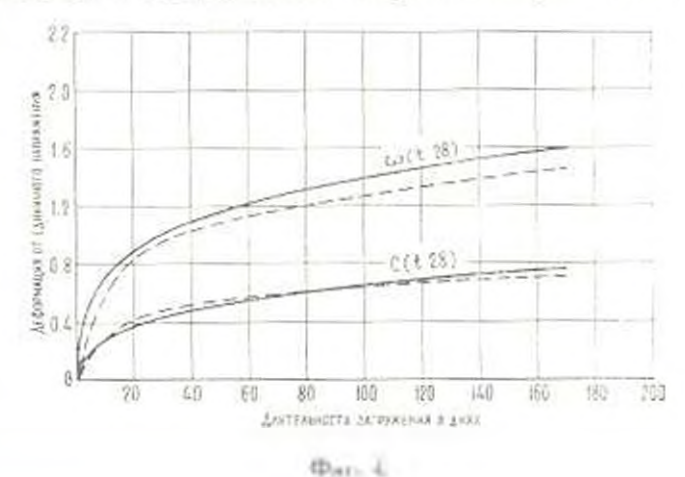
где © (:) — функция старения, а т₁ и т коэффициенты, определяемые из опыта.

В результате описания кривых ползучести полых цилиндрических бетонных оболочек при чистом сжатии и чистом кручении были получены следующие зависимости:

$$10^{5} C(t, 28) = 0.78 [1 - 0.5 (e^{-0.1 t} - e^{-0.1})]$$
 (8)

$$10^{5} \circ (t, 28) = 2 \cdot 0.78 \left[1 - 0.5 \left(e^{-(1)t} + e^{-0.563t} \right) \right] \tag{9}$$

На фиг. 4 сплошными линиями представлены экспериментальные кривые ползучести от единичного напряжения при чистом сжатии и

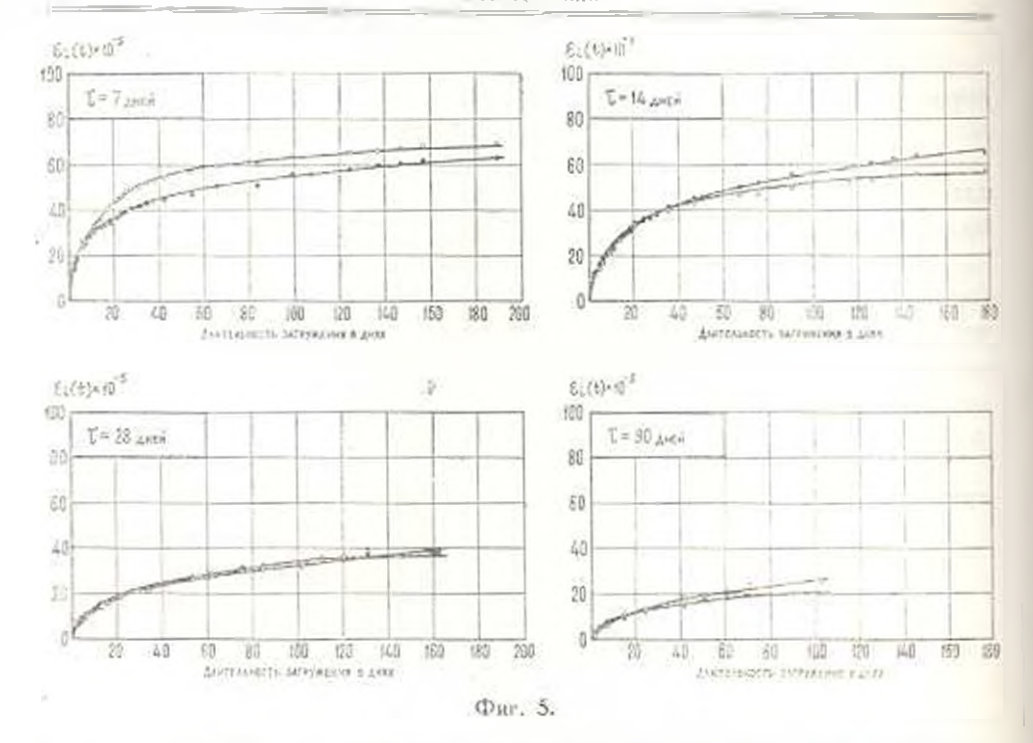


чистом кручении, а пунктирами — теоретические кривые по формулам (8) и (9). Как видно из фиг. 4, формулы (8) и (9) вполне удовлетворительно описывают экспериментальные кривые.

На основании этих опытов внонь подтверждается установленный нами [3], Дуке и Дэвисом [7] и И. Е. Прокоповичем [6] тот факт, что при кручении ползучесть бетона в два раза больше, чем ползучесть бетона при сжатии. Отсюда следует, что v_0 (t, 28) 0.

Рассмотрим результаты исследования ползучести бетона при сложно-напряженном состоянии. Цель этих исследований заключалась и изучении закономерности ползучести бетона при сложно-напряженном состоянии с учетом старения материала и установление связи между ползучестями бетона при простом и сложном напряженных состояниях.

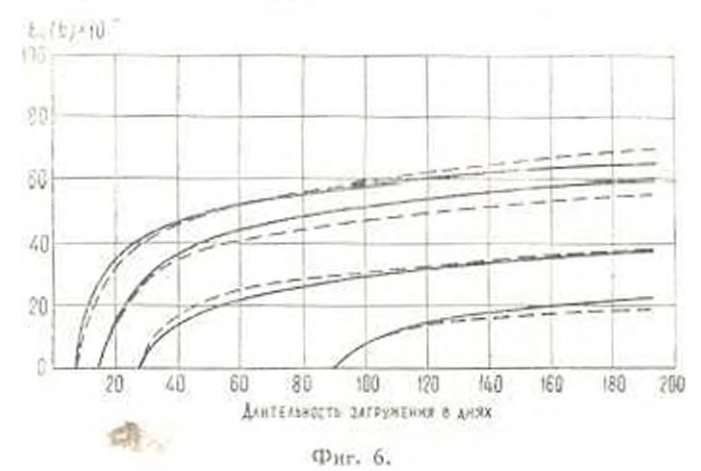
На фиг. 5 в виде отдельных графиков приведены экспериментальные кривые интенсивности деформаций ползучести (t, т) всех образцов для различных возрастов бетона в момент загружения, а на фиг. 6 те же кривые по средним леформациям ползучести. Как ви-



дим, возраст бетона оказыплет существенное влияние на интенсивность деформаций ползучести. С увеличением возраста интенсивность деформаций ползучести уменьшается.

В результате описания кривых ползучести цилиндрических бетонных образцов при сложно-напряженном состоянии, соответствующих
разным возрастам бетона в момент загружения, получена следующая
записимость:

$$10^{5} z_{i}^{a}(t,\tau) = \left(0.28 + \frac{18}{z} - \frac{65}{z}\right) \left(1 - 0.5 \left[e^{-1.0 - 1} - e^{-1.0 - 1}\right] z_{i}$$
 (10)

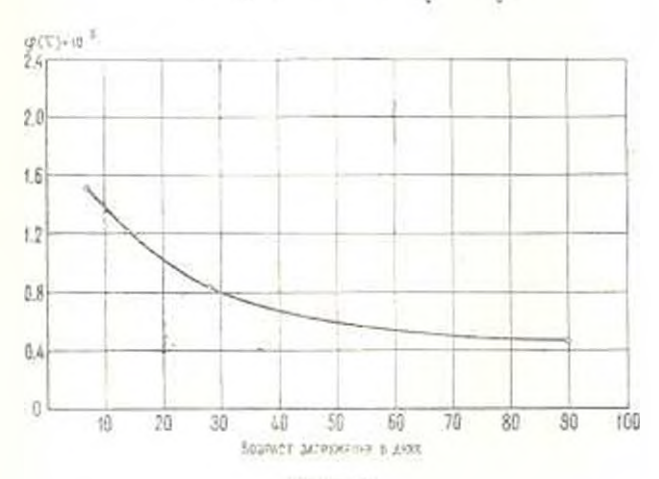


Как видно из фиг. б. теоретические кривые, показанные пунктирами, хорошо описывают экспериментальные кривые ползучести бето-

на при сложно-напряженном состоянии в различных возрастах бетона.

На фиг. 7 показана функция старения, которая выражается зависимостью

$$10^{8} \circ (\tau) = 0.27 + \frac{18}{\tau} - \frac{65}{\tau^{2}}$$
 (11)



Фнг. 7.

Предстапляет интерес рассмотрение хривых продольных деформаций ползучести (t, \cdot) и деформаций ползучести сдвига, обусловленых кручением $\gamma_{t,\cdot}(t, \tau)$ при сложно-напряженном состоянии, т. с. когда цилиндрический образец находится под длительной нагрузкой и $\tau_{t,\cdot}$. Указанные кривые приведены на фиг. 8 и 9, которые показывают, что возраст бетона оказывает существенное влияние как на продольные, так и на касательные деформации ползучести.

Как уже было показано, мера ползучести бетона при чистом кручении в два раза больше, чем мера ползучести при чистом сжатии.

То обстоятельство, что v_2 (I, 28) 0, дало возможность посредством более простого уравнения описать экспериментальные кривые волзучести при сжатии и чистом кручении.

В настоящей работе для описания экспериментальных криных волзучести при сложно-напряженном состоянии с учетом старения материала было принято, что пезацисимо от возраста бетона к моменту загружения

$$v_2(t, \tau) = 0 \tag{12}$$

Напишем формулу (10) в виде

$$\varepsilon_{l}(t,z) = C(t,z) \cdot z \tag{13}$$

где \mathfrak{o}_l и \mathfrak{e}_l ныражаются формулами (1) и (2), а C (t. $\overline{}$) деформация ползучести от единичного напряжения.

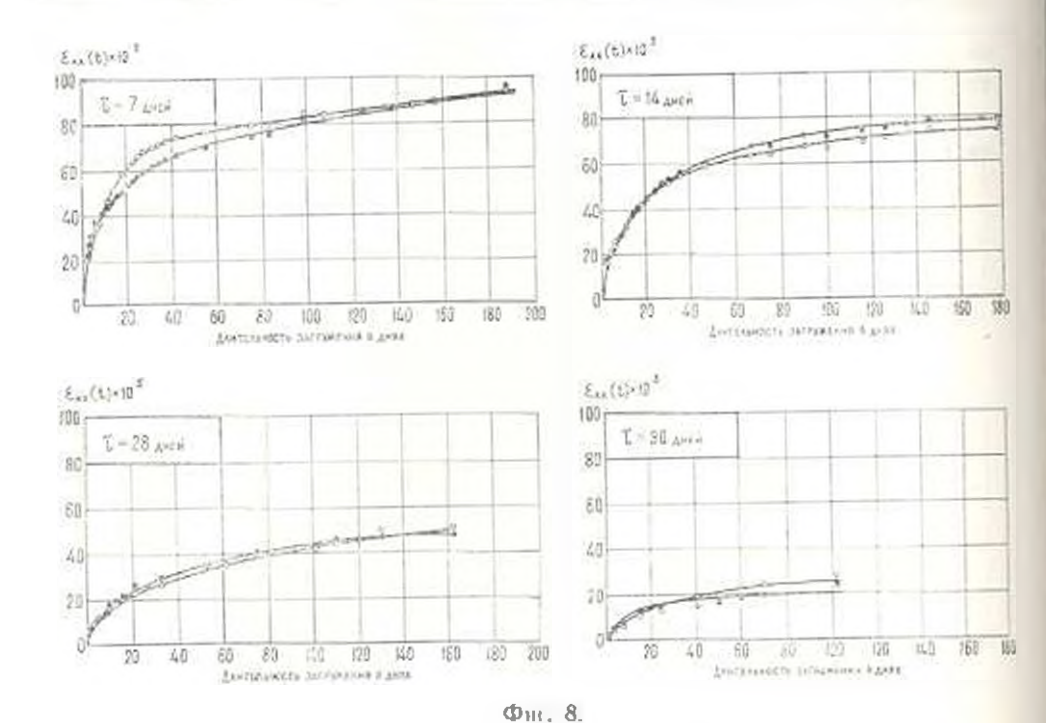
Рассмотрим только продольные деформации под действием напряжения ϕ_{xx} . Тогда формулы (1) и (2) примут пид:

20 46

0 80 100 170 140 Applications 24/27/2014 8 A444 :50

180 200

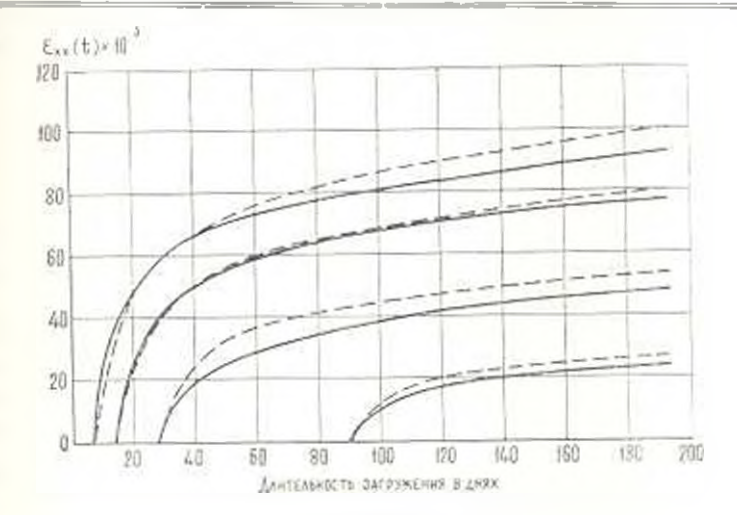
Фиг. 9.



7 ... (c) · 10 5 7.a (t)-10 " T = 7 wish T = 14 ANTH 80 80 68 40 48 20 20 6 08 20 60 80 (50) ANTIANDOS ANTERNIS 40 100 120 140 180 200 40 120 660 159 8xe (t) × 10 5 Ziz (t) x 14 tBū 7 = 28 AMES E= 90 ANDA 80 60 50 AU 40 20 20

QU 80 100 120 A0 Apettophothy (attributions & April

150



Фиг. 10.

$$s_i = s_{xx}$$
 (1a)

$$\varepsilon_l(t, \pm) = \frac{2}{3} \varepsilon_{ll}(t, \pm) \tag{2a}$$

Подставляя эти значения в формулу (13), получим

$$\varepsilon_{xx}(t,z) = \frac{3}{2} C(t,z) = 0 \tag{14}$$

На фиг. 10 сплошными линиями показаны семейства экспериментальных кривых продольной деформации ползучести $\varepsilon_{ax}(t,t)$ в различных возрастах загружения, а пунктирами теоретические кривые, рассинтанные по формуле (14). Как видим, формула (14) хорошо описывает экспериментальные кривые.

Выводы

- 1. При испытании цилиндрических образцов на сжатие с последующим кручением разрушающая крутящая нагрузка (при одинаковой начальной сжимающей нагрузке) с увеличением возраста бетона в момент испытания увеличивается.
- 2. При данном сложно-напряженном состояния возраст бетона не оказывает влияния на записимость интенсивность деформаций интенсивность напряжений бетона.
- 3. Возраст бетона в момент загружения оказывает существенное влияние на интенсивность деформаций ползучести при сжатии с кручением. С увеличением возраста интенсивность деформаций ползучести уменьшается.
- 4. Теория упруго-ползучего тела Г. Н. Маслова Н. Х. Арутюняна позволяет учесть фактор старения бетона для описания кривых ползучести при сжатии с кручением в области линейной ползучести.

Ивститут мотематики и механики АН АрмССР

Поступила 19 1 1967

B. Ա. ԿՈՏԻԿՅԱՆ

ՀԱՍԱԿԻ ԱԶԴԵՑՈՒԹՅՈՒՆԸ ՔԵՏՈՆԻ ՍՈՂՔԻ ՎՐԱ ՔԱՐԳ ԼԱՐՎԱԾԱՏԻՆ ՎԻՃԱԿԻ ԳԵՊՔՈՒՄ

Undendiard

Հոցվածում բերժում են բետոնի սողջի էքսպերիմենտալ Հետազոտու կ<mark>ուն-</mark> ների արդյունըները՝ սեղմում-ոլորում բարդ լարվածային վիճակում, կ<mark>ախված</mark> բեռնավորման մոմենտում բետոնի հասակից։

հատղոտությունները դույց են տվել, որ սողքի զեֆորմացիաների ինտենարվությունները մեծապես կախված են նյութի Հասակից։ Արքան մեծ է Հասակը, այնթան — են սողքի գեփորմադիաների ինտենսիվությունը։ Ստադվաարդյունոները ցույց են տվել, որ միավոր լարումից առաջացած սողքը մարուր ոլորման դեպքում երկու անդամ մեծ է սողքի — սեղման դեարում, երբ նմուշները փորձարկվում են 28 օրեկան Հասակում։

Սողթի էրապերիմենտալ կորհրը դրանցվել են Գ. Կ. Մասլովը և Ն. ա. Հարությունյանի առաձգա-սողբային մարմնի տեսությամբ և տվել են բավար<mark>ար</mark> արգյունընհը։

R. A. KOTIKIAN

THE INFLUENCE OF AGE ON THE CREEP OF CONCRETE IN COMPRESSION WITH SUCCESSIVE TORSION

Summary

In this paper the results of experimental investigations of concrete creep in complex state of stress depending on the age of concrete at the moment of test are given.

At a given complex state of stress the age of concrete has a significant effect on the intensity of creep deformation. The more the age the less is the intensivity of creep deformation.

Besides, investigations show that creep dimension during torsion is twice as much as creep dimensions during compression at the age of 28 days.

ЛИТЕРАТУРА

- 1. Арутюнян Н. Х. Некоторые попросы теории ползучести. Гостехиздат, М.-А., 1952.
- Карапетия К. С. и Копикян Р. А. Исследование прочности и деформативности бетоно при сложно-напряженном состоянии. Дока. АН АрмССР, г. 39, № 14.
- Карапетян К. С. и Котикан Р. А. Ползучесть бетона при сложно-напряженном состоянии. Изместия АН АрмССР, Механика. т. 19, № 4, 1966.
- Карипетян К. С. и Котикян Р. А. Влияние позраста бетова на прочность и деформативность при сложно-паприженном состоянии. Известия АП. АрмССР, Механияв, т. 19, № 5, 1966.
- Каранетия К. С. Ползучесть бетона при высових изпряжениях. Известия АН АрмССР, серия физ.-мат. ваук. т. 4, № 2, 1953.
- Проколович И. Е. Влияние даительных процессов на напряжениюе и деформированное погланиме сооружений. Госстройиздат, 1963.
- Duke C. M. and Davis H. H. Some properties of concrete under sustained combined stresses. American Society for Testing Material. Proceedings, vol. 44, 1944.